

网络出版时间: 2024-12-26 16:51:59 网络出版地址: <https://link.cnki.net/urlid/34.1065.r.20241226.1134.006>

# LncRNA SFTA1P 通过调控 miR-182-5p/FNI 通路促进肾透明细胞癌细胞增殖与迁移

向威, 吕磊, 郑福鑫, 袁敬东

(武汉市第一医院泌尿外科, 武汉 430022)

**摘要** 目的 探讨长链非编码 RNA 表面活性剂相关 1 假基因(*SFTA1P*)通过调控微小 RNA-182-5p(*miR-182-5p*) /纤连蛋白 1(*FNI*)通路促进肾透明细胞癌(ccRCC)细胞增殖与迁移的分子机制。方法 应用 GEPIA2 软件探究 TCGA 数据库中*SFTA1P*在 ccRCC 组织中的表达; 实时定量 PCR(qPCR)检测*SFTA1P*在 ccRCC 组织、正常肾脏组织及 ccRCC 细胞系中的表达; 亚细胞定位实验探究*SFTA1P*在 ccRCC 细胞系人肾细胞腺癌细胞(ACHN)中的定位; 将 ACHN 细胞分为 si-Con 组、si-SFTA1P #2 组、mimic NC 组、miR-182-5p mimic 组、anti-miR-Con 组、anti-miR-182-5p 组、anti-miR-182-5p + si-FNI 组、si-Con + anti-miR-Con 组、si-SFTA1P #2 + anti-miR-Con 组及 si-SFTA1P #2 + anti-miR-182-5p 组; CCK-8 与 transwell 小室实验检测细胞增殖与迁移能力; qPCR、Western blot 和双荧光素酶报告基因实验检测*SFTA1P*、*miR-182-5p* 和 *FNI* 的调控关系。结果 TCGA 数据库分析显示,*SFTA1P*在 ccRCC 组织中高表达( $P < 0.05$ ); 与正常肾脏组织比较,*SFTA1P*在 ccRCC 组织中表达升高( $P < 0.01$ ); ccRCC 细胞系 786-O、SN12-PM6、ACHN 及 A498 中*SFTA1P*表达明显高于人肾近曲小管细胞 HK-2(均  $P < 0.01$ ); 亚细胞定位实验显示*SFTA1P*主要分布于 ACHN 细胞的细胞质中; 与 si-Con 组比较, si-SFTA1P #2 组 ACHN 细胞增殖与迁移能力降低, *FNI* mRNA 及蛋白表达降低( $P < 0.05$ ); 与 mimic NC 组比较, miR-182-5p mimic 组 ACHN 细胞 *FNI* mRNA 及蛋白表达降低( $P < 0.01$ ); 与 anti-miR-Con 组比较, anti-miR-182-5p 组 ACHN 细胞 *FNI* mRNA 及蛋白表达增加, 细胞增殖与迁移能力增强( $P < 0.05$ ); 与 anti-miR-182-5p 组相比, anti-miR-182-5p + si-FNI 组 ACHN 细胞增殖与迁移能力降低( $P < 0.05$ ); 与 si-SFTA1P #2 + anti-miR-Con 组比较, si-SFTA1P #2 + anti-miR-182-5p 组 ACHN 细胞增殖与迁移能力增强, *FNI* mRNA 及蛋白表达增加( $P < 0.05$ )。结论 *SFTA1P*在 ccRCC 中高表达, 其通过调控 *miR-182-5p/FNI* 通路促进 ccRCC 细胞的增殖与迁移。

**关键词** 肾透明细胞癌; *SFTA1P*; *miR-182-5p*; *FNI*; 增殖; 迁移

**中图分类号** R 737.11

**文献标志码** A 文章编号 1000-1492(2025)01-0041-08

doi: 10.19405/j.cnki.issn1000-1492.2025.01.006

肾透明细胞癌 (clear cell renal cell carcinoma, ccRCC) 是人类肾脏恶性肿瘤中最常见的一种病理类型, 具有高复发、高转移的特征, 早期或局限性肿瘤患者一般通过手术治疗, 而晚期患者则主要依赖靶向或免疫治疗。然而, 这类晚期患者常因耐药而疗效不佳, 导致预后较差<sup>[1-2]</sup>。因此, 研究 ccRCC 发生发展的分子机制, 并探寻新的标志物或靶标, 对肿瘤患者的早期诊断、治疗及预后改善具有潜在的重要意义。长链非编码 RNA (long non-coding RNA, lncRNA) 是一类长度超过 200 个核苷酸的功能性 RNA, 被证实调控肿瘤细胞的增殖、侵袭、迁移或血管生成等关键过程<sup>[3]</sup>。表面活性剂相关 1 假基因

(surfactant associated 1 pseudogene, *SFTA1P*) 是近年来新被研究的一个 lncRNA, 被发现在多种肿瘤中发挥抑癌或促癌作用<sup>[4-7]</sup>。然而, *SFTA1P* 在 ccRCC 中的作用尚不清晰。该研究结合生物信息学分析和细胞功能实验, 探索 *SFTA1P* 对 ccRCC 细胞增殖与迁移的影响, 并验证 *SFTA1P*、*miR-182-5p*、纤连蛋白 1 (fibronectin 1, *FNI*) 在 ccRCC 中的调控关系。

## 1 材料与方法

**1.1 临床标本收集** 收集 2021 年 3 月—2023 年 1 月在武汉市第一医院泌尿外科接受根治性肾脏切除的 22 例患者的癌组织 (Tumor 组), 同时收集距肿瘤边缘大于 5 cm 的正常肾脏组织 (Normal 组), 并对这些患者的一般资料和病理信息进行统计分析。研究对象包括 17 名男性和 5 名女性, 年龄 59~78 ( $67.36 \pm 5.85$ ) 岁, 均最终病理确诊为 ccRCC, 且术前未接受放化疗或其它辅助治疗。所有研究对象均签署知情同意。本研究获得了医院伦理委员会的批

2024-11-15 接收

基金项目: 国家自然科学基金(编号: 81502204); 湖北省卫生健康委员会科研项目(编号: WJ2021Q001)

作者简介: 向威, 男, 博士, 副主任医师;

袁敬东, 男, 硕士, 主任医师, 通信作者, E-mail: jing-dongyuan97@hotmail.com

准 所有标本在离体后立即置于液氮中保存。

**1.2 主要试剂** TRIzol 总 RNA 提取试剂、胰酶、Lipofectamine 2000 转染试剂及细胞核质分离试剂盒由美国 Invitrogen 公司购入; 胎牛血清(fetal bovine serum, FBS) 购自美国 Sigma 公司; 高糖型杜氏改良 Eagle 培养基(Dulbecco's modified Eagle medium, DMEM) 培养基购自美国 Hyclone 公司; 逆转录试剂盒与实时定量 PCR (quantitative real-time PCR, qPCR) 试剂盒购自宝生物工程(大连)有限公司; RIPA 液、ECL 液及 CCK-8 细胞增殖检测试剂盒均购自上海碧云天生物技术有限公司; RNA 结合蛋白免疫沉淀检测(RNA binding protein immunoprecipitation, RIP) 试剂盒购自美国 Millipore 公司; SFTA1P、FNI 及 GAPDH 引物由上海生工公司提供; U6 引物、miR-182-5p 引物、miR-182-5p 模拟物(miR-182-5p mimic)/抑制剂(anti-miR-182-5p) 及阴性对照(mimic NC, anti-miR-Con) 购自广州锐博生物科技有限公司; SFTA1P 小干扰 RNA 由上海吉玛基因公司购入, 干扰序列分别为: si-SFTA1P #1: 5'-GGAAAGGCAT-TCACCATCAAT-3'; si-SFTA1P #2: 5'-GTTGCCAGT-CAAAGAAACAAT-3'; si-SFTA1P #3: 5'-GGATGGT-CAGAGAGGAGATTA-3'; FNI 干扰序列为: si-FNI: GTGTCTTACCATTCACCTACA; siRNA 阴性对照序列(si-Con): 5'-GAACGGATTAAACCGATTACA-3'; 野生型/突变型双荧光素酶载体(wt SFTA1P, mut SFTA1P, wt FNI 3'UTR, mut FNI 3'UTR) 均由上海吉玛制药技术有限公司构建并提供; 双荧光素酶报告基因实验试剂盒购自北京百奥莱博科技有限公司; GAPDH 与 FNI 一抗购自美国 Cell Signaling Technology(CST) 公司(货号: #2118、#26836); Ago2 一抗由美国 Abcam 公司提供(货号: ab186733), 二抗由上海碧云天生物技术有限公司提供(货号: A0208)。

**1.3 细胞培养** ccRCC 细胞系 786-O、人肾细胞腺癌细胞(human renal cell adenocarcinoma cell, ACHN) 来源于中国科学院典型培养物保藏委员会细胞库, ccRCC 细胞系 SN12-PM6、A498 及人肾近曲小管细胞 HK-2 由本课题组保存。所有细胞系均用含 10% FBS 的 DMEM 培养液进行培养, 培养环境为含 5% CO<sub>2</sub> 的 37 °C 培养箱。

**1.4 细胞转染与实验分组** 将处于对数生长期的 ccRCC 细胞经胰酶消化后按照各实验所需密度种入各培养板孔板内, 待细胞生长至 70% 融合度时进行转染操作, 分组如下: si-Con 组(转染 si-Con)、si-

SFTA1P #2 组(转染 si-SFTA1P #2)、mimic NC 组(转染 mimic NC)、miR-182-5p mimic 组(转染 miR-182-5p mimic)、anti-miR-Con 组(转染 anti-miR-Con)、anti-miR-182-5p 组(转染 anti-miR-182-5p)、anti-miR-182-5p + si-FNI 组(anti-miR-182-5p 与 si-FNI 共转染)、si-Con + anti-miR-Con 组(si-Con 与 anti-miR-Con 共转染)、si-SFTA1P #2 + anti-miR-Con 组(si-SFTA1P #2 与 anti-miR-Con 共转染)及 si-SFTA1P #2 + anti-miR-182-5p 组(si-SFTA1P #2 与 anti-miR-182-5p 共转染)。

**1.5 CCK-8 细胞增殖实验** 将消化后的 ccRCC 细胞以  $1.0 \times 10^3$  个/孔的密度种入 96 孔板内, 在转染 24、48、72、96 h 后分别收集各转染组细胞, 按照 CCK-8 试剂盒的操作说明检测 450 nm 波长处的吸光度值, 继而进行数据统计分析。

**1.6 Transwell 细胞迁移实验** 将转染后的各组 ccRCC 细胞消化重悬于无血清的 DMEM 培养液中, 以  $2.0 \times 10^4$ /孔的量(200 μl 细胞悬液)加入 Transwell 上室内, 而在下室内加入 600 μl 含 10% FBS 的 DMEM 培养液。在培养箱内继续培养 24 h 后, 先用 4% 多聚甲醛对下室底壁细胞进行固定, 继而用 0.1% 结晶紫溶液对贴壁细胞进行染色, 随后在倒置显微镜下进行观测和拍照。

**1.7 qPCR 检测** 按照 TRIzol 法提取 ccRCC 组织、正常肾脏组织及 ccRCC 细胞系的总 RNA, 在测定 RNA 浓度后, 使用逆转录试剂盒生成 cDNA, 随后应用 qPCR 试剂盒进行检测分析。各引物序列为: SFTA1P, Forward 5'-AATTACAACGAGAAAAG-CACCT-3', Reverse 5'-ACTAGAGAGGGGGATGAAG-AAAT-3'; FNI, Forward 5'-GGTCCGGGACTCAATC-CAAA-3', Reverse 5'-GACAGAGTTGCCACGGTAA-3'; GAPDH, Forward 5'-TTCTTTGCGTCGCCAGCC-3', Reverse 5'-TCCCGTTCTCAGCCTTGAC-3'. GAPDH、U6 被分别用于内参对照, 并使用  $2^{-\Delta\Delta C_T}$  法计算各基因的相对表达量。

**1.8 蛋白质印迹(Western blot) 实验** 应用 RIPA 法分离并纯化各组细胞的总蛋白, BCA 法测定其浓度, 继而按照 Western blot 操作步骤分别进行电泳、转膜、封闭、洗膜及一抗、二抗孵育等过程, 最后使用 ECL 液对膜带进行化学发光检测。

**1.9 亚细胞定位实验** 应用细胞核质分离试剂盒分别提取 ccRCC 细胞的细胞核与细胞质 RNA, 经浓度测定、逆转录成 cDNA 及 qPCR 上机检测, 分析 SFTA1P 在 ccRCC 细胞中的亚细胞定位。

**1.10 RIP 检测** 收集处于对数生长期的 ccRCC 细胞,按照 RIP 试剂盒操作流程提取总 RNA,随后用 Ago2 抗体预孵育的磁珠与所提取 RNA 进行沉淀反应,继而对富集的 RNA 进行纯化,并逆转录成 cDNA,最后采用 qPCR 法进行检测,以分析 Ago2 对 SFTAIP、miR-182-5p 的富集程度。其中,裂解液总 RNA 组为 Input 对照, IgG 组为阴性对照。

**1.11 双荧光素酶报告基因实验** 采用生物信息学在线数据库 miRcode(<http://www.mircode.org/>) 预测 SFTAIP 靶基因 miR-182-5p 与 SFTAIP 具有互补结合位点,构建野生型(wt SFTAIP) 和突变型(mut SFTAIP) 双荧光素酶报告基因质粒。应用生物信息学在线数据库 starBase(<https://rnasysu.com/encori/index.php>) 预测 miR-182-5p 靶基因 FN1 基因 3' UTR 与 miR-182-5p 具有互补结合位点,构建野生型(wt FN1 3'UTR) 和突变型(mut FN1 3'UTR) 双荧光素酶报告基因质粒。将 wt SFTAIP 或 mut SFTAIP 双荧光素酶报告基因质粒分别与 miR-182-5p mimic 或 mimic NC 共转至 ACHN 细胞中; 将 wt FN1 3' UTR 或 mut FN1 3'UTR 双荧光素酶报告基因质粒分别与 miR-182-5p mimic 或 mimic NC 共转至 ACHN 细胞中。在转染 48 h 后,利用双荧光素酶报告基因实验试剂盒检测 ACHN 细胞中荧光素酶的活性。

**1.12 统计学处理** 应用 SPSS 27.0 软件进行统计分析,数据以  $\bar{x} \pm s$  表示,其中独立样本 t 检验被用于两组间资料数据的比较,而多组间差异比较采用单

因素方差分析。 $P < 0.05$  为差异有统计学意义。

## 2 结果

**2.1 SFTAIP 在 ccRCC 组织及细胞系中的表达情况** GEPIA2 软件分析结果显示,与 Normal 组相比,SFTAIP 在 Tumor 组中高表达( $P < 0.05$ )(图 1A)。qPCR 检测结果显示,与 Normal 组比较,SFTAIP 在 Tumor 组中表达上调( $t = 4.803, P < 0.01$ )(图 1B)。此外,qPCR 检测结果显示,相比肾近曲小管细胞 HK-2,SFTAIP 在 ccRCC 细胞系 ACHN、786-O、A498 及 SN12-PM6 中表达均增加( $t = 12.64, 5.157, 7.196, 8.962$ , 均  $P < 0.01$ )(图 1C)。上述结果表明 SFTAIP 在 ccRCC 组织及细胞系中高表达,提示其很可能在 ccRCC 中发挥促癌作用。

**2.2 下调 SFTAIP 对 ccRCC 细胞增殖与迁移的影响** qPCR 检测结果显示,与 si-Con 组比较,si-SFTAIP #1 组、si-SFTAIP #2 组及 si-SFTAIP #3 组 ACHN 细胞中 SFTAIP 表达均降低( $t = 13.03, 19.44, 9.203$ , 均  $P < 0.01$ )(图 2A),其中 si-SFTAIP #2 干扰序列对 SFTAIP 表达具有最高的沉默效率。CCK-8 检测结果显示,与 si-Con 组相比,si-SFTAIP #2 组 ACHN 细胞在 48、72、96 h 的增殖活力降低( $t = 3.995, 3.983, 4.68$ , 均  $P < 0.05$ )(图 2B)。Transwell 细胞迁移实验结果显示,与 si-Con 组相较,si-SFTAIP #2 组 ACHN 细胞的迁移能力降低( $t = 9.511, P < 0.01$ )(图 2C)。上述结果表明,下调 SFTAIP 抑制 ccRCC 细胞的增殖与迁移。

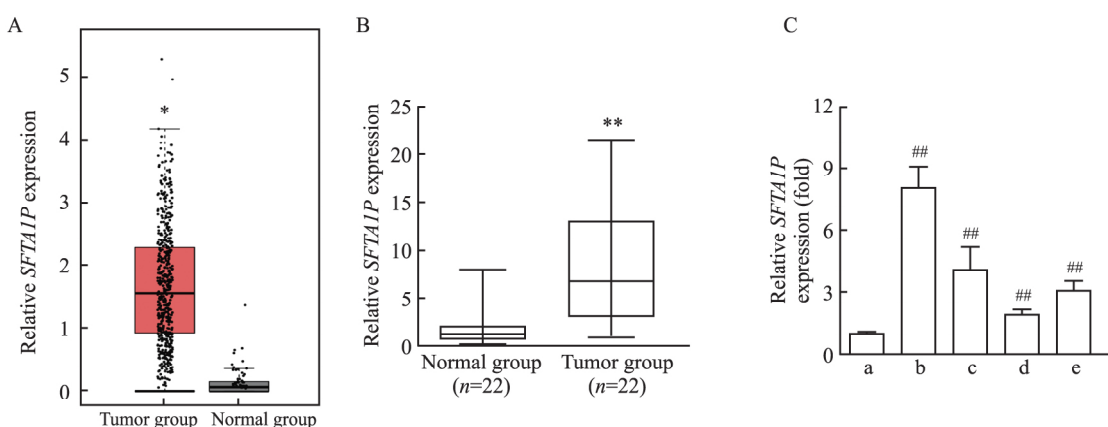


图 1 SFTAIP 在肾透明细胞癌组织与细胞系中的表达

Fig. 1 Expression of SFTAIP in ccRCC tissues and cell lines

A: Expression of SFTAIP in ccRCC tissues from the TCGA database; B: The level of SFTAIP in clinical ccRCC samples was verified by qPCR; C: Detection of SFTAIP expression in ccRCC cell lines through qPCR; a: HK-2 group; b: ACHN group; c: 786-O group; d: A498 group; e: SN12-PM6 group; \*  $P < 0.05$ , \*\*  $P < 0.01$  vs Normal group; ##  $P < 0.01$  vs HK-2 group.

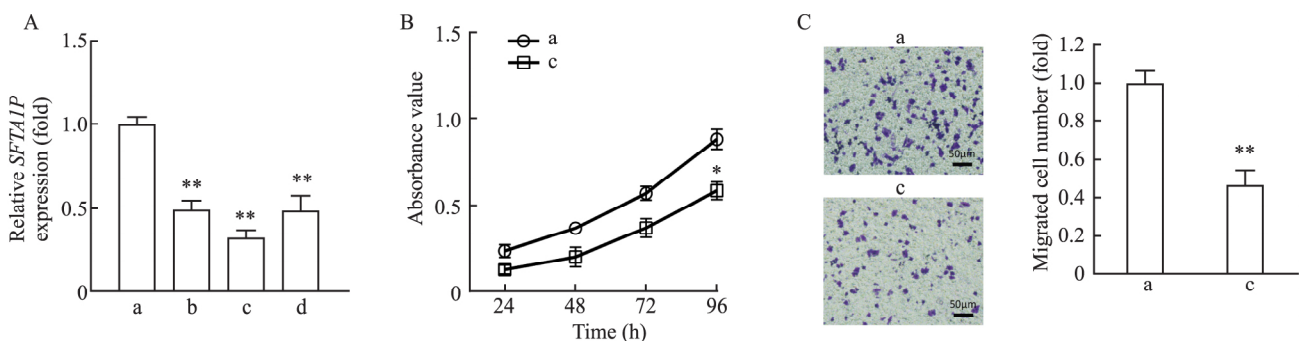


图 2 SFTA1P 对 ACHN 细胞增殖与迁移的影响

Fig. 2 SFTA1P affected the proliferation and migration of ACHN cells

A: Detection of SFTA1P siRNA interference efficiency using qPCR; B: Detection of cellular viability using CCK-8 assay; C: Detection of cell migration ability using Transwell migration assay in each group; a: si-Con group; b: si-SFTA1P #1 group; c: si-SFTA1P #2 group; d: si-SFTA1P #3 group; \*  $P < 0.05$ , \*\*  $P < 0.01$  vs si-Con group.

**2.3 SFTA1P 与 miR-182-5p 的靶向关系** 亚细胞定位实验结果显示, SFTA1P 主要分布于 ACHN 细胞的细胞质中(图 3A), 提示 SFTA1P 可能在转录后层面参与基因的表达调控。生物信息学在线数据库 miRcode ( <http://www.mircode.org/> ) 分析显示, SFTA1P 与 miR-182-5p 具有互补序列(图 3B)。双荧光素酶报告基因实验结果显示, 在 ACHN 细胞中 miR-182-5p mimic 降低了 wt SFTA1P 组的荧光素酶活性( $t = 11.06$ ,  $P < 0.01$ ), 而 mut SFTA1P 组的荧光素酶活性无显著变化(图 3C)。RIP 实验结果显示, 与 IgG 组相比, Ago2 组 ACHN 细胞中的 SFTA1P 或 miR-182-5p 富集量增加( $t = 7.685$ 、 $17.28$ , 均  $P < 0.01$ ) (图 3D)。以上结果表明, 在 ccRCC 细胞中 SFTA1P 可靶向结合 miR-182-5p。

**2.4 miR-182-5p 靶向 FNI 对 ccRCC 细胞增殖与迁移的影响** qPCR 与 Western blot 检测结果显示, 与 mimic NC 组比较, miR-182-5p mimic 组 ACHN 细

胞中 FNI mRNA 和蛋白表达降低( $t = 6.783$ 、 $9.464$ , 均  $P < 0.01$ ); 与 anti-miR-Con 组相比, anti-miR-182-5p 组 ACHN 细胞中 FNI mRNA 和蛋白表达增加( $t = 5.349$ 、 $4.701$ , 均  $P < 0.01$ ) (图 4A、B)。生物信息学在线数据库 starBase (<https://rnasysu.com/encori/index.php>) 分析显示, miR-182-5p 与 FNI 3'UTR 具有互补序列(图 4C)。双荧光素酶报告基因实验结果显示, 在 ACHN 细胞中 miR-182-5p mimic 降低了 wt FNI 3'UTR 组的荧光素酶活性( $t = 7.850$ ,  $P < 0.01$ ), 而 mut FNI 3'UTR 组的荧光素酶活性无显著变化(图 4C)。CCK-8 实验结果显示, 相较于 anti-miR-Con 组, anti-miR-182-5p 组 ACHN 细胞在 48、72、96 h 的增殖活力均增强( $t = 5.477$ 、 $6.548$ 、 $6.376$ , 均  $P < 0.05$ ); 相较于 anti-miR-182-5p 组, anti-miR-182-5p 与 si-FNI 共转染组 ACHN 细胞在 48、72、96 h 的增殖活力均降低( $t = 3.475$ 、 $3.967$ 、 $3.997$ , 均  $P < 0.05$ ) (图 4D)。Transwell 细胞迁移实

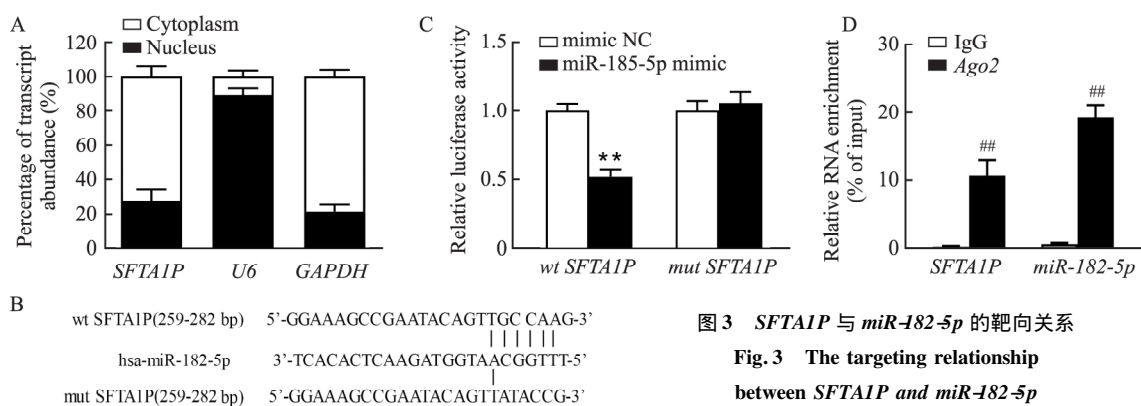


图 3 SFTA1P 与 miR-182-5p 的靶向关系

Fig. 3 The targeting relationship between SFTA1P and miR-182-5p

A: Subcellular localization test; B: Binding sites between SFTA1P and miR-182-5p predicated using miRcode online database; C: The relationship between SFTA1P and miR-182-5p evaluated by dual luciferase gene reporter assay; D: The binding activity between SFTA1P, miR-182-5p and Ago2 was validated using RIP assay; \*\*  $P < 0.01$  vs the mimic NC group; ##  $P < 0.01$  vs IgG group.

验结果显示,相较 anti-miR-Con 组,anti-miR-182-5p 组 ACHN 细胞的迁移能力增强 ( $t = 6.997, P < 0.01$ ); 相较 anti-miR-182-5p 组,anti-miR-182-5p 与 si-FNI 共转染组 ACHN 细胞的迁移能力降低 ( $t = 5.269, P < 0.01$ ) (图 4E)。上述结果表明,miR-182-5p 通过靶向调控 FNI 表达,影响 ccRCC 细胞的增殖与迁移。

**2.5 SFTA1P 调控 miR-182-5p/FNI 通路对 ccRCC 细胞增殖与迁移的影响** qPCR 与 Western blot 检测结果显示,与 si-Con 组比较,si-SFTA1P #2 组 ACHN 细胞中 FNI mRNA 和蛋白表达降低 ( $t = 9.108, 9.460, \text{均 } P < 0.01$ ) (图 5A、B)。CCK-8 实验结果显示,相较 si-Con 与 anti-miR-Con 共转染组,si-SFTA1P #2 与 anti-miR-Con 共转染组 ACHN 细胞在 48、72、96 h 的增殖活力降低 ( $t = 5.19, 5.254, 10.46, \text{均 } P < 0.05$ ); 而相较 si-SFTA1P #2 与 anti-miR-Con 共转染组,si-SFTA1P #2 与 anti-miR-182-5p 共转染组 ACHN 细胞在 48、72、96 h 的增殖活力

增强 ( $t = 5.877, 4.279, 5.786, \text{均 } P < 0.05$ ) (图 5C)。Transwell 细胞迁移实验结果显示,si-SFTA1P #2 与 anti-miR-Con 共转染组 ACHN 细胞较 si-Con 与 anti-miR-Con 共转染组的迁移能力降低 ( $t = 12.26, P < 0.01$ ); si-SFTA1P #2 与 anti-miR-182-5p 共转染组 ACHN 细胞较 si-SFTA1P #2 与 anti-miR-Con 共转染组的迁移能力增强 ( $t = 5.874, P < 0.01$ ) (图 5D)。qPCR 与 Western blot 检测结果显示,si-SFTA1P #2 与 anti-miR-Con 共转染组 ACHN 细胞较 si-Con 与 anti-miR-Con 共转染组细胞中 FNI mRNA 和蛋白表达降低 ( $t = 17.15, 12.08, \text{均 } P < 0.01$ ); si-SFTA1P #2 与 anti-miR-182-5p 共转染组 ACHN 细胞较 si-SFTA1P #2 与 anti-miR-Con 共转染组细胞中 FNI mRNA 和蛋白表达增加 ( $t = 6.823, 4.812, \text{均 } P < 0.01$ ) (图 5E、F)。以上结果表明,SFTA1P 通过调控 miR-182-5p/FNI 通路促进 ccRCC 细胞的增殖与迁移。

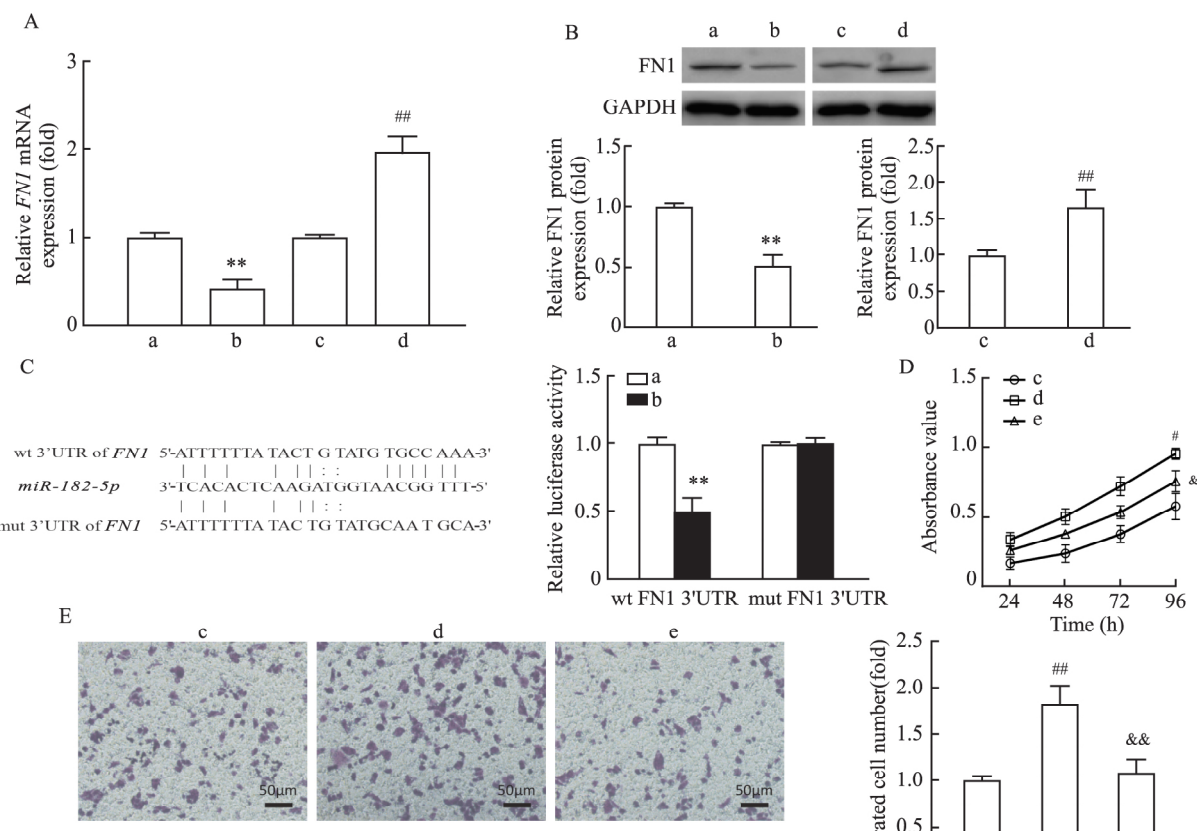


图 4 miR-182-5p 靶向 FNI 对 ACHN 细胞增殖与迁移的影响

Fig. 4 miR-182-5p affected the proliferation and migration of ACHN cells by targeting FNI

A: Detection of mRNA expression of FNI using qPCR; B: Detection of FNI protein expression using Western blot; C: Binding sites between miR-182-5p and FNI 3'UTR predicated using the starBase database, and the binding relationship between miR-182-5p and FNI was evaluated by dual luciferase gene reporter assay; D: Detection of cellular proliferation using CCK-8 assay; E: Detection of cell migration using Transwell assay in each group  $\times 100$ ; a: mimic NC group; b: miR-182-5p group; c: anti-miR-Con group; d: anti-miR-182-5p group; e: anti-miR-182-5p + si-FNI group; \*\*  $P < 0.01$  vs mimic NC group; \*  $P < 0.05$ , ##  $P < 0.01$  vs anti-miR-Con group; &  $P < 0.05$ , &&  $P < 0.01$  vs anti-miR-182-5p group.

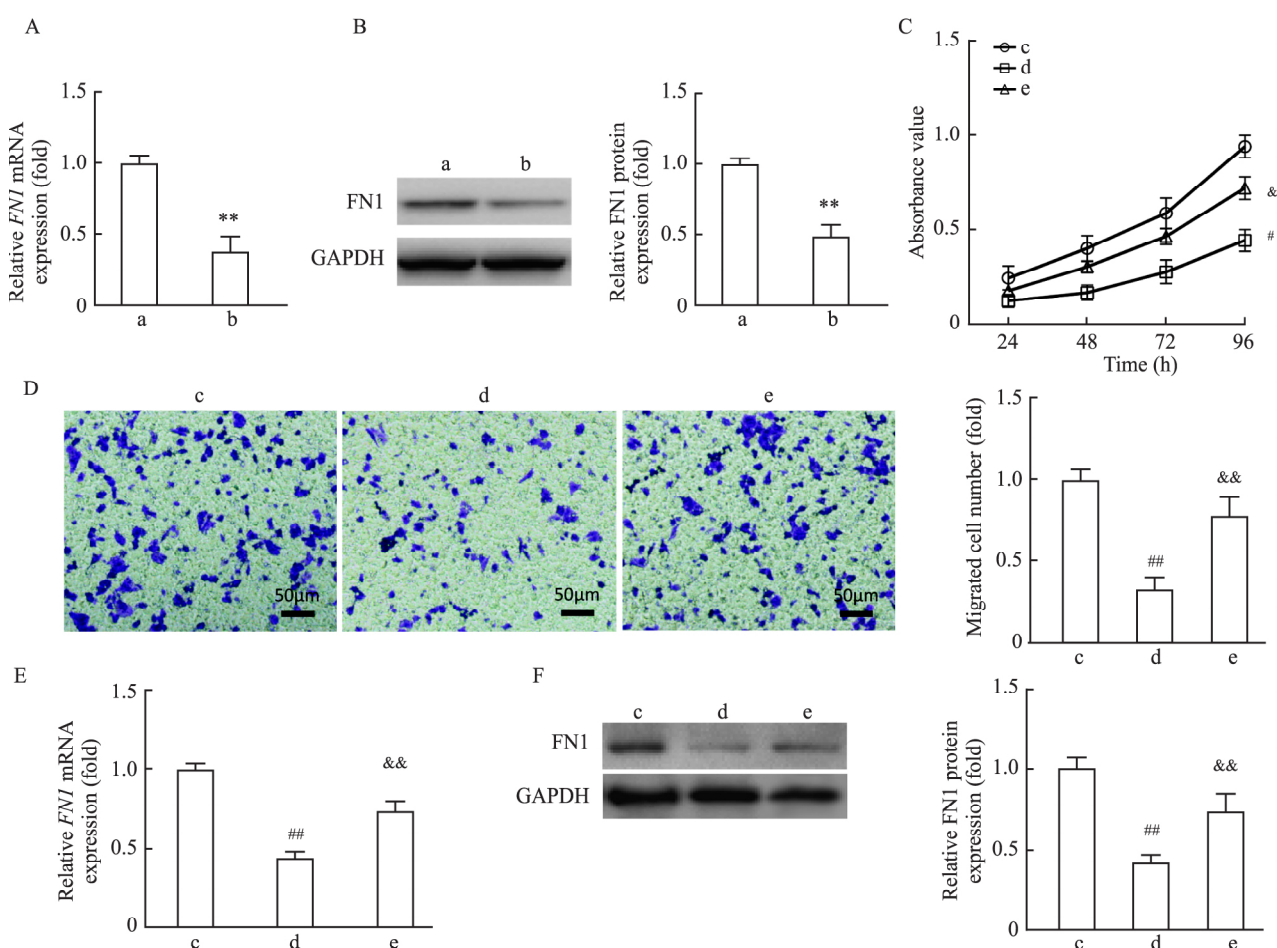


图 5 SFTAIP 调控 miR-182-5p/FNI 通路对 ACHN 细胞增殖与迁移的影响

Fig.5 The effect of SFTAIP on ACHN cell proliferation and migration was mediated through the regulation of the miR-182-5p/FNI pathway

A , E: Expression level of *FNI* was measured in groups by qPCR; B , F: Detection of *FN1* protein expression in groups using Western blot; C: Detection of cellular proliferation using CCK-8 assay; D: Detection of cell migration ability using Transwell assay in each group  $\times 100$ ; a: si-Con group; b: si-SFTAIP #2 group; c: si-Con + anti-miR-Con group; d: si-SFTAIP #2 + anti-miR-Con group; e: si-SFTAIP #2 + anti-miR-182-5p group; \*\* $P < 0.01$  vs si-Con group; # $P < 0.05$  , ## $P < 0.01$  vs si-Con + anti-miR-Con group; & $P < 0.05$  , && $P < 0.01$  vs si-SFTAIP #2 + anti-miR-Con group.

### 3 讨论

近年来 lncRNA 因其在细胞生物学功能调控中的重要作用受到人们的广泛关注<sup>[3]</sup>。有报道指出，lncRNA 与多种人类肿瘤如乳腺癌、骨髓瘤、白血病、胰腺癌、肝癌、肺癌、前列腺癌、ccRCC 等的生物学进展密切相关<sup>[8-9]</sup>。此前的研究<sup>[4-7, 10]</sup>表明 lncRNA SFTAIP 在非小细胞肺癌、肝癌、宫颈癌中高表达，而在胃癌、肺鳞状细胞癌中低表达。本研究显示，SFTAIP 在 ccRCC 组织及细胞系中高表达，而下调 SFTAIP 表达可显著抑制 ccRCC 细胞的增殖与迁移，表明 SFTAIP 在 ccRCC 中发挥癌基因的作用。

有报道指出 lncRNA 的功能与其亚细胞定位密切相关<sup>[11]</sup>。在亚细胞定位实验里，SFTAIP 被发现主要分布于 ccRCC 细胞的细胞质中。而作为 miR-

NA 分子“海绵”是许多细胞质分布 lncRNA 发挥功能的一种重要作用方式<sup>[12]</sup>。据此，本研究在生物信息学软件预测的基础上，通过双荧光素酶报告基因实验和 RIP 实验证实 SFTAIP 在 ccRCC 细胞中可作为分子“海绵”结合 miR-182-5p，并发挥潜在的调控作用。针对 miR-182-5p，已有研究<sup>[13]</sup>证实其在 ccRCC 中低表达，并通过调控下游靶基因或相关信号通路而发挥抑癌作用。为进一步探索 miR-182-5p 的功能并鉴定其下游靶基因，本研究通过生物软件预测、qPCR 及 Western blot 检测，发现 miR-182-5p 可负性调控 *FNI* 的 mRNA 及蛋白表达，提示 *FNI* 很可能是 miR-182-5p 的靶基因。基于此，本研究继续深入探索了 miR-182-5p 调控 *FNI* 表达的作用机制。一般而言，通过与靶基因 mRNA 的 3'UTR 区结合从而调控靶基因的表达是 miRNA 发挥作用的一

种经典调控方式<sup>[3]</sup>。针对 *miR-182-5p* 与 *FN1* 的潜在结合位点,本研究设计并构建了包含野生型或突变型结合位点的 *FN1* 3'UTR 双荧光素酶报告基因载体,双荧光素酶报告基因实验表明 *miR-182-5p* 可靶向结合 *FN1* 3'UTR,进一步证实 *FN1* 是 *miR-182-5p* 的直接靶基因。

*FN1* 是纤连蛋白家族成员之一,其作为糖蛋白参与了细胞外基质的组成,从而在介导细胞外基质重塑、细胞黏附、迁移及信号转导等方面起着至关重要的作用<sup>[14]</sup>。有研究指出,*FN1* 在多种人类肿瘤中高表达,发挥促瘤效应并驱动肿瘤的恶性生物学进展<sup>[14-15]</sup>。在肝癌中,肿瘤相关巨噬细胞和成纤维细胞来源的 *FN1* 可通过 JUN 途径促进肝癌细胞转移<sup>[16]</sup>。在 ccRCC 中,*FN1* 被发现高表达,并与肿瘤的进展与预后密切相关<sup>[17]</sup>。此外,Zhang et al<sup>[15]</sup> 发现 *FN1* 介导了 circ\_0101692/miR-384 通路对 ccRCC 细胞恶性生物学进展的调控过程,在此过程中 *FN1* 扮演癌基因的角色。本研究中,细胞功能实验显示下调 *FN1* 可部分逆转沉默 *miR-182-5p* 对 ccRCC 细胞增殖与迁移的促进作用,研究证实了 *miR-182-5p* 通过靶向调控 *FN1* 表达从而促进 ccRCC 细胞的增殖与迁移。此外,本研究显示下调 *miR-182-5p* 可部分逆转沉默 *SFTA1P* 对 ccRCC 细胞增殖与迁移的抑制效应,而 *FN1* 表达亦受到类似的影响。这些证据更进一步证实了 *SFTA1P* 调控 *miR-182-5p/FN1* 通路在促进 ccRCC 细胞生物学进展中发挥重要作用。

综上所述,*SFTA1P* 在 ccRCC 中高表达,其作为分子“海绵”可特异性结合 *miR-182-5p*,并进一步调控 *miR-182-5p/FN1* 通路,从而促进 ccRCC 细胞的增殖与迁移。后续可通过动物实验和扩大临床样本的研究,进一步探索 *SFTA1P* 调控 *miR-182-5p/FN1* 通路的深层机制及其潜在分子靶标,以期为 ccRCC 的分子靶向治疗提供新的研究参考。

## 参考文献

- [1] Young M , Jackson-Spence F , Beltran L , et al. Renal cell carcinoma [J]. Lancet. 2024 , 404( 10451) : 476 – 91. doi: 10.1016/S0140 - 6736( 24) 00917 - 6.
- [2] 胡庆庆, 刘浩然, 王建忠. SETD2 在肾透明细胞癌中的表达及对患者预后的影响[J]. 安徽医科大学学报, 2022, 57(6): 925 – 31. doi: 10.19405/j.cnki.issn1000 – 1492.2022.06.015.
- [2] Hu Q Q , Liu H R , Wang J Z. The expression of SETD2 in ccRCC and its effect on prognosis of patients[J]. *Acta Univ Med Anhui* , 2022 , 57 ( 6) : 925 – 31. doi: 10. 19405/j. cnki. issn1000 – 1492. 2022. 06. 015.
- [3] Mattick J S , Amaral P P , Carninci P , et al. Long non-coding RNAs: Definitions, functions, challenges and recommendations [J]. *Nat Rev Mol Cell Biol* , 2023 , 24( 6) : 430 – 47. doi: 10.1038/s41580 – 022 – 00566 – 8.
- [4] Ma H , Ma T , Chen M , et al. The pseudogene-derived long non-coding RNA SFTA1P suppresses cell proliferation, migration, and invasion in gastric cancer [J]. *Biosci Rep* , 2018 , 38 ( 2) : BSR20171193. doi: 10.1042/BSR20171193.
- [5] Zhu B , Finch-Edmondson M , Leong K W , et al. LncRNA SFTA1P mediates positive feedback regulation of the Hippo-YAP/TAZ signaling pathway in non-small cell lung cancer [J]. *Cell Death Discov* , 2021 , 7( 1) : 369. doi: 10.1038/s41420 – 021 – 00761 – 0.
- [6] Huang G , Yang Y , Lv M , et al. Novel lncRNA SFTA1P promotes tumor growth by down-regulating miR-4766-5p via PI3K/AKT/mTOR signaling pathway in hepatocellular carcinoma [J]. *Oncotargets Ther* , 2020 , 13: 9759 – 70. doi: 10.2147/OTT.S248660.
- [7] Luo A , Lan X , Qiu Q , et al. LncRNA SFTA1P promotes cervical cancer progression by interaction with PTBP1 to facilitate TPM4 mRNA degradation [J]. *Cell Death Dis* , 2022 , 13( 11) : 936. doi: 10.1038/s41419 – 022 – 05359 – 7.
- [8] Goyal B , Yadav S R M , Awasthee N , et al. Diagnostic, prognostic, and therapeutic significance of long non-coding RNA MALAT1 in cancer[J]. *Biochim Biophys Acta Rev Cancer* , 2021 , 1875 ( 2) : 188502. doi: 10.1016/j.bbcan.2021.188502.
- [9] 向威, 吕磊, 郑福鑫, 等. SLC9A3-AS1 调控 miR-148a-3p/ROCK1 信号轴影响肾癌细胞生物学功能[J]. 华中科技大学学报(医学版), 2024, 53(2): 161 – 7. doi: 10.3870/j. issn.1672 – 0741.23.12.014.
- [9] Xiang W , Lv L , Zheng F X , et al. SLC9A3-AS1 regulates miR-148a-3p/ROCK1 axis to affect biological function of renal carcinoma cells [J]. *Acta Med Univ Sci Technol Huazhong* , 2024 , 53 ( 2) : 161 – 7. doi: 10.3870/j. issn.1672 – 0741.23.12.014.
- [10] Zhang W , Bai M , Liu K , et al. LncRNA surfactant associated 1 activates large tumor suppressor kinase 1/Yes-associated protein pathway via modulating hypoxic exosome-delivered miR-4766-5p to inhibit lung adenocarcinoma metastasis [J]. *Int J Biochem Cell Biol* , 2022 , 153: 106317. doi: 10.1016/j.biocel.2022.106317.
- [11] Bridges M C , Daulagala A C , Kourtidis A. LNCcation: LncRNA localization and function [J]. *J Cell Biol* , 2021 , 220 ( 2) : e202009045. doi: 10.1083/jcb.202009045.
- [12] Alkan A H , Akgül B. Endogenous miRNA sponges [M] // Methods in Molecular Biology. New York , NY: Springer US , 2021: 91 – 104. doi: 10.1007/978 – 1 – 0716 – 1170 – 8\_5.
- [13] Wu Y , Zhang C , Peng D , et al. miR-182-5p inhibits the tumorigenesis of clear cell renal cell carcinoma by repressing UBE2T [J]. *Hum Cell* , 2022 , 35( 2) : 542 – 56. doi: 10.1007/s13577 – 021 – 00661 – 6.
- [14] Efthymiou G , Saint A , Ruff M , et al. Shaping up the tumor microenvironment with cellular fibronectin [J]. *Front Oncol* , 2020 , 10: 641. doi: 10.3389/fonc.2020.00641.
- [15] Zhang H , Ma M. Circ\_0101692 knockdown retards the development of clear cell renal cell carcinoma through miR-384/FN1 path-

- way [J]. *Transl Oncol*, 2023, 28: 101612. doi: 10.1016/j.transonc.2022.101612.
- [16] Zhang L, Zhang C, Xing Z, et al. Fibronectin 1 derived from tumor-associated macrophages and fibroblasts promotes metastasis through the JUN pathway in hepatocellular carcinoma [J]. *Int Immunopharmacol*, 2022, 113( Pt A) : 109420. doi: 10.1016/j.intimmopharmacol.2022.109420.
- [17] Dong Y, Ma W M, Yang W, et al. Identification of C3 and FN1 as potential biomarkers associated with progression and prognosis for clear cell renal cell carcinoma [J]. *BMC Cancer*, 2021, 21(1) : 1135. doi: 10.1186/s12885-021-08818-0.

## LncRNA *SFTA1P* modulates the *miR-182-5p/FN1* pathway to promote the proliferation and migration of clear cell renal carcinoma cells

Xiang Wei, Lv Lei, Zheng Fuxin, Yuan Jingdong

(Dept of Urology, Wuhan No. 1 Hospital, Wuhan 430022)

**Abstract Objective** To explore the molecular mechanism by which long non-coding RNA Surfactant Associated 1 Pseudogene (*SFTA1P*) promotes the proliferation and migration of clear cell renal cell carcinoma (ccRCC) cells by regulating the microRNA-182-5p (*miR-182-5p*) /fibronectin 1 (*FN1*) pathway. **Methods** GEPIA2 software was utilized to analyze the expression of *SFTA1P* in ccRCC tissues from the TCGA database. Quantitative real-time PCR (qPCR) was employed to detect the expression of *SFTA1P* in ccRCC tissues, normal kidney tissues and ccRCC cell lines. A subcellular localization experiment was performed to explore the localization of *SFTA1P* within the human renal cell adenocarcinoma cell line (ACHN) derived from ccRCC. ACHN cells were then divided into the following groups: si-Con group, si-SFTA1P #2 group, mimic NC group, miR-182-5p mimic group, anti-miR-Con group, anti-miR-182-5p group, anti-miR-182-5p + si-FN1 group, si-Con + anti-miR-Con group, si-SFTA1P #2 + anti-miR-Con group, and si-SFTA1P #2 + anti-miR-182-5p group. CCK-8 and Transwell chamber experiments were conducted to assess cell proliferation and migration abilities. qPCR, Western blot, and dual-luciferase reporter assays were employed to elucidate the regulatory interactions among *SFTA1P*, *miR-182-5p*, and *FN1*. **Results** Analysis of The Cancer Genome Atlas (TCGA) database indicated that *SFTA1P* was overexpressed in ccRCC tissues ( $P < 0.05$ ). When compared to normal kidney tissues, *SFTA1P* expression was markedly elevated in ccRCC tissues ( $P < 0.01$ ). Furthermore, the expression levels of *SFTA1P* in ccRCC cell lines 786-O, SN12-PM6, ACHN, and A498 were significantly higher than those in human renal proximal tubule cells (HK-2) (all  $P < 0.01$ ). Subcellular localization experiments revealed that *SFTA1P* predominantly localized in the cytoplasm of ACHN cells. Compared to the si-Con group, the si-SFTA1P #2 group exhibited a significant reduction in proliferation and migration abilities of ACHN cells, accompanied by a decrease in *FN1* mRNA and protein expression ( $P < 0.05$ ). Compared to the mimic NC group, the expression of *FN1* mRNA and protein in ACHN cells in the miR-182-5p mimic group reduced ( $P < 0.01$ ). In comparison to the anti-miR-Con group, the expression levels of *FN1* mRNA and protein in ACHN cells were significantly elevated in the anti-miR-182-5p group. Additionally, there was a significant enhancement in both cell proliferation and migration capabilities ( $P < 0.05$ ). Conversely, the proliferation and migration abilities of ACHN cells in the anti-miR-182-5p + si-FN1 group were significantly reduced compared to the anti-miR-182-5p group ( $P < 0.05$ ). Furthermore, relative to the si-SFTA1P #2 + anti-miR-Con group, the ACHN cells in the si-SFTA1P #2 + anti-miR-182-5p group demonstrated increased proliferation and migration abilities, along with elevated *FN1* mRNA and protein expression levels ( $P < 0.05$ ). **Conclusion** *SFTA1P* exhibits elevated expression levels in ccRCC and facilitates the proliferation and migration of ccRCC cells through the modulation of the *miR-182-5p/FN1* signaling pathway.

**Key words** clear cell renal cell carcinoma; *SFTA1P*; *miR-182-5p*; *FN1*; proliferation; migration

**Fund programs** National Natural Science Foundation of China (No. 81502204); Scientific Research Project of Hubei Health Commission (No. WJ2021Q001)

**Corresponding author** Yuan Jingdong, E-mail: jingdongyuan97@hotmail.com